

# 凍結－融解作用이 흙의 諸強度特性에 미치는 影響( I )

## Effects of the Freeze/Thaw Process on the Strength Characteristics of Soils(1)

柳能桓\* · 朴承範\*\*  
Ryu, Neung Hwan · Park, Seung Bum

### Summary

In this research programs, a series test was conducted to show the effects of freeze/thaw process on the various soil properties. The tests were carried out taken from the west sea shore of Korean peninsular and the wast sea shore of Scotland, and their results are as follows:

1. There was a positive total heave in a freezing run, although water may be expelled for the sample initially. The water flow must be reverse from expulsion to intake.
2. The confining pressure had an overriding influence on the heave and frost penetration, a sudden change of the axial strain at failure with strain rate was observed occurring at a strain rate between  $10^{-5}$  and  $10^{-6}$ , and the initial friction angle of frozen clay was appeared zero.
3. There was shown a significant decrease in liquid limit of soil which was subjected to freeze/thaw process for the initial value of about 20% because of soil particles aggregation.
4. The cyclic freeze/thaw caused a sinificant reduction in shear strength and its thixotropic regain. The frozen/thawed soil exhibited negative strength regain, particularly at high freeze/thaw cycles.
5. The freezing temperature greatly influenced on the failure strength of soils and this trend was more pronounced the lower the freezing temperature and shown the ductile failure with indistinct peaks.

### I. 緒論

흙의 凍結作用은 어느 限定된 地域에서의 特殊한 現象으로써, 地盤이 凍結되는 所謂 永久凍土 地盤은 約 2,100方km<sup>2</sup>이고 部分的으로 凍結되는 곳까지 합하면 地球陸地面積의 70%에 이른다고 한다.

이와같은 곳에서는 地盤狀態가 凍結融解에 따라서 상당히 變化되고, 이는 主로 土～水系內의 構造變化에 의한 것이다.

흙속에서의 凍結融解作用은 여러가지 副作用을 일으키며, 所謂 凍上效果를 나타낸다. 이문제는 아직도 正確한 メ커니즘(Mechanism)이 밝혀지지는 않았지만 가장 큰 問題는 흙의 強

\* 江原大學校 農科大學

\*\* 忠南大學校 工科大學

度低下이다.

흙이凍結되면一般的으로 매우強하고 또 거의不透性으로 된다.<sup>10, 16)</sup> 이와 같은理由때문에凍結工法이擁壁工事,基礎地盤處理, 터널, 地下鐵工事 및 其他軟弱地層으로된構造物의基礎地盤處理工法으로利用되고 있다.

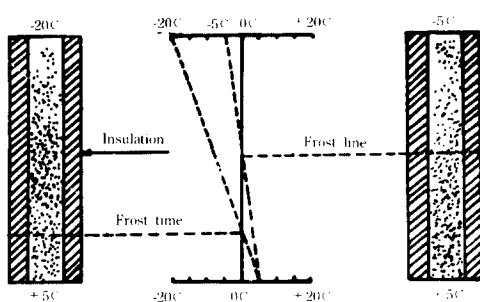
그러나一端흙이凍結되면, 土粒子는 그의粘着力을發揮하지 못하고, 凍結中에發生되는負의間隙水壓<sup>30)</sup>때문에, 土粒子의構造變化와水晶分離現象이發生된다. Benoit<sup>6)</sup>에 의하면凍結~融解作用은土粒子를粉碎시키고透水性을減少시키는 한편 Smith<sup>29)</sup>와 Frese<sup>15)</sup>는土粒子를크게攪亂시킨다고했다. 또 Chamberlain<sup>11)</sup>等은細粒土가凍結되었다가다시融解되면土粒子의離合및龜裂이發生되어透水性이增加되고, 특히이龜裂은호름의抵抗性을reduces시키고, 이를爲한通路役割을한다고했다. 이와같이흙의凍結融解作用은흙의透水性,強度 및變形特性에큰影響을미치고있다.<sup>15)</sup> 예컨대 흙의剪斷強度의減少로軟性및剛性鋪裝의支持力이減少되고<sup>4)</sup> 흙댐,堤防,防潮堤,盛土 및切土斜面의安定盛의減少는勿論, 雍壁이나矢板의壁體에作用하는水平土壓을增加시킨다. 이와같은構造物의安定問題를다루기爲해서는凍結融解中에있는土粒子의構造特性을把握할必要가있고一般的으로, 흙이粘土質인境遇에는,土粒子가서로獨立되어있는것이아니라組織單位를形成하고, 그單位는微細粒子가서로모여서高單位로發達된複合單位構造이며, Young<sup>31)</sup>에의하면그最少單位는Domain이고, 더메인(Domain)의集合體를클러스터(Cluster)가모여서페드(ped)構造體를形成한다고하였다. 따라서이들흙의構造는間隙으로評價되고,構造의으로잘발달된흙은內部間隙과外部間隙을包含하고있으며<sup>22)</sup>이들無數한間隙이保水性과透水盛을調節하며, 壓縮,乾燥및凍結等에의하여,土壤構造는수시로變化된다. 이와같이흙의凍結融解作用을받는동안흙의構造, 合水比,間隙比等이흙의凍上 및強度에상당한影響을미치고있음이밝혀졌다.

本研究에서는,凍結融解裝置를갖춘三軸壓

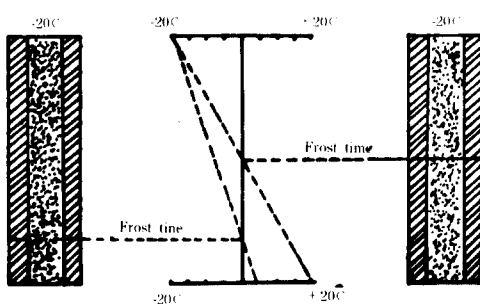
縮試驗器를使用하여, 우리나라西海岸 및英國의Scotland Oban地方의粘性土대한凍結融解作用이諸般強度에미치는影響을比較調查하였다.

## II. 凍結機構

凍結溫度가繼續되는동안,地表에서의凍結降下比率은大氣의溫度變化에左右되고, 이때凍結前線의移動은처음에는若干上向하다가다시下向하여結冰板을形成하고繼續的인下向變動을通하여두꺼운冰層을形成하여凍上을誘發한다. 이와같은結果는下部에서물이適當히供給되면,어느種類의흙에서나일어날수있음을의미하며, Stephen<sup>2, 3, 27, 28)</sup>等에의하면凍上은凍結點으로물이移動되여,結冰層을形成하기때문에發生된다고하였고또한흙속의물이凍結에의하여體積이變化되는現象으로써,空氣의溫度가長期間冰點以下에머물러있으면깊게얼어붙은凍結土壤은地球의內部로부터,熱의上向傳導作用으로아랫부분에서徐徐히融解作用이일어난다. Fig. 1은凍結前線및等溫線의移動을實驗室內에서調節하는方法을圖解的으로表示한것이다. Fig. 1(a)는-20°C에서+5°C로下向移動시키는것이고Fig. 1(b)는하부에서+5°에서-20°로變更시키는境遇로이두가지는同一한結果를얻을수있다.後者는人爲的으로凍結效果를調整하는것인데反하여前者는自然的인凍結效果를나타내며本그래프의發達課程에서흙속에서의溫度勾配가一定하다고假定하면本그래프는直線을나타내며自然狀態에서는周邊으로부터의熱의吸水作用과放出作用이恒常一定하지는않기때문에圖解的으로表示한勾配는어느形態의曲線으로될수도있다. 이와같이흙의凍結이繼續되는동안에漸次로成長하는水晶과土粒子사이에있는間隙水의一部는不凍結狀態로남아있고이때그의溫度는매우낮다. 이部分의凍結前線의壓力에의하여不凍結水의自由에너지(Energy)와地下水의自由에너지의差(熱力學的Potential)로因하여水晶과土粒子사이의



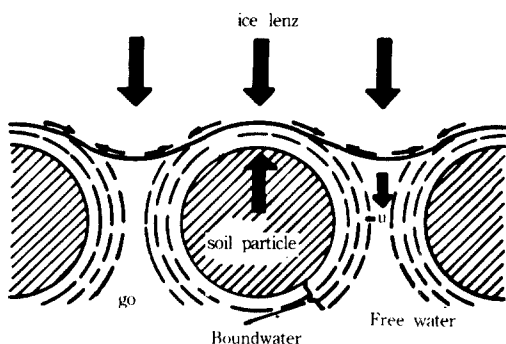
(a) Effect of external temperature change



(b) Effect of internal temperature change

Fig. 1. Theoretical analysis of temperature movement in soil.

間隙속으로 물이 移動되어 凍上作用을 일으키게 된다。冰晶이 繼續해서 成長하려면 拘束水의 溫度가  $0^{\circ}\text{C}$  以下로 되어야 하고, 冰晶의 아랫부분에서 上昇力이 作用해야 하며 이때 冰晶(ice lens)과 물의 接觸面에서는 表面張力 때문에 어느 限界内에서는 이들 垂直方向의 힘의 和는 零( $O$ )<sup>14, 19, 21, 23</sup>으로 된다。(Fig. 2-(a) 참조) 이와 같은 原理에 의하여 間隙水는 毛管力에 의하여 維持 되고 實際로 吸着水膜의 두께는 土粒子의 粒徑에 包含되고, 물이 完全히 土粒子周圍에 吸着되었을 때에는, 空隙속을 채우고 있는水分이 并목을 通過하기 위해서 凍結前線의 曲線半徑( $\gamma_{iw}$ )이 어느 限界值( $\gamma_c$ ) 보다 작아야 한다.<sup>17, 18, 20</sup>(Fig. 2-(b) 참조) 一般的으로 얼음의 壓力( $P_i$ )은 매우 작은 過載荷重으로 作用하기 때문에, 물의 壓力은 負壓이며, 물을 繼續的으로 上向으로 끌어올리는 것은 吸上力이고 얼음의



(a) Mechanical forces

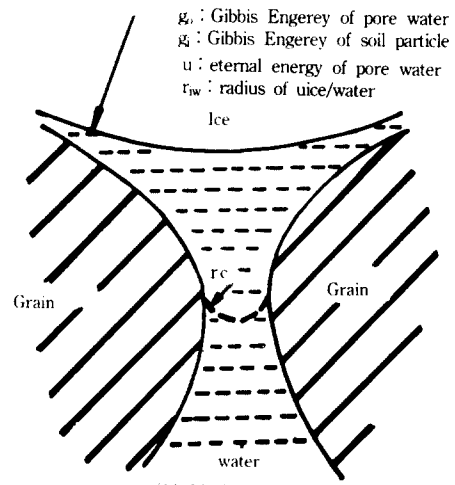


Fig. 2. Mechanical forces acting on the surface of an ice lens.

重이 包含되지 않았으며, 처짐에는 剪斷에 의한 반경이 空隙并목의 有效半徑과 같거나 그보다 작을 때에만 얼음은 空隙속으로 侵入하고 그렇지 않으면, 이렌즈는 充分히 降下하여 必要한 曲面( $\gamma_c$ )을 만들 때까지 下向形成된다. 따라서 吸上力이 그리 크지 못하면 얼음과 물의 界面半徑은 어느 限界值보다 크게 되어 凍結侵下를 妨害하고 그 結果 冰晶을 形成하게 된다.

### III. 材料 및 方法

#### 1. 材 料

使用된 試料는 우리나라 西海岸 錦江 河口(k)와 英國 Scotland Oban(u)海岸 地下 120 cm에서

採取하였고, 室內溫度에서 乾燥시킨후 最適合水比 前後로 하여 密閉된 鐵製箱子속에 넣어 一週日間 保管하여 合水比가 均一하게 되도록 하였다. 이들흙의 粒度分布와 物理的 性質은 Fig. 3과 Table-1과 같고 이들 두가지 흙은 대략 비슷한 性質을 띠고 있다.

試料準備用 soil bean 바닥에는 10 cm程度의 모래를 布設하고 그밑에는 銅線 코일을 設置하여, 물이 이 銅線 코일을 通過되도록 하여 흙의 溫度와 凍結率을 調整할 수 있도록 하였다. 凍結中에 貯水槽의 水位는 客器의 바닥에서 10 cm程度로 하였고, 다진흙의 윗부분에는 凍結코일과 不凍液를 넣은 凍結板을 設置하고, 이를 溫度調節裝置에 連結하였다. 또 凍結板 위에는 上載荷重에 해당되는 鐵板을 올려놓고 soil bean 주변에는 斷熱材를 使用하여 絶線시키고 内面에는 凍結中 鐵板과 흙사이의 摩擦을 減少시키기 위

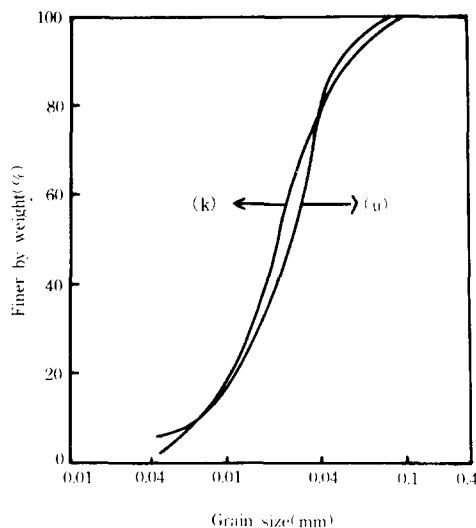


Fig. 3. Grain size distribution curves of soil samples.

Table-1. Physical properties of soils used.

soil	liquid limit (%)	plastic index (%)	moisture content of natural state(%)	specific gravity (%)	organic content	specific surface area (in <sup>2</sup> /gf)	soil classification (U. S. C)
K	34.6	18.3	35.2	2.57	5.5	34.0	CL-ML
U	49.5	24.5	34.7	2.62	5.8	36.0	CL-ML

해서 실리콘 그레이스(silicon grease)를 布하고, 最適合水比와 最大乾燥密度로 다진 흙속에는 Thermocouples을 連結하여 溫度를 調節할 수 있도록 計劃하였다.(Fig. 4)

試驗用 試料는 高強度 아크릴프라스틱으로 된 多段모울드를 使用하여 準備하였고, 한번에 10個를 採取할 수 있는 構造로 되여있다. 試料의

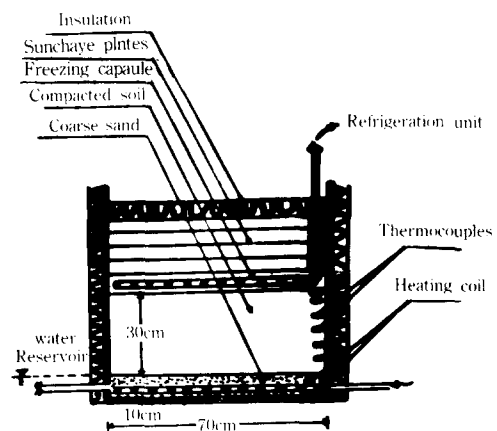


Fig. 4. Freezing-Thawing test set.

크기는 70( $\phi$ ) $\times$ 150(H) $mm^3$ 로 하여 拘束力を 주는 液體의 浸透를 防止하기 위해서 얕은 고무막을 씌워 真空飽和시스템에 連結한 후 所要의 拘束壓力, 荷重 및 凍結融解 試驗을 實施하였다.

## 2. 實驗機具 및 方法

Fig. 5는 本實驗裝置로써, Permode는 直徑 10 cm의 Tetlo on 실린더로 되여있고 실린더 壁에 Thermocouple을 設置하여 흙試料의 溫度分布狀態를 測定할 수 있었다. 試料에 作用하는 軸方向壓力은 0.5%의 精度를 가진 多段로드셀을 使用하였고 그의 變形量은 DCDT를 使用해서, 測

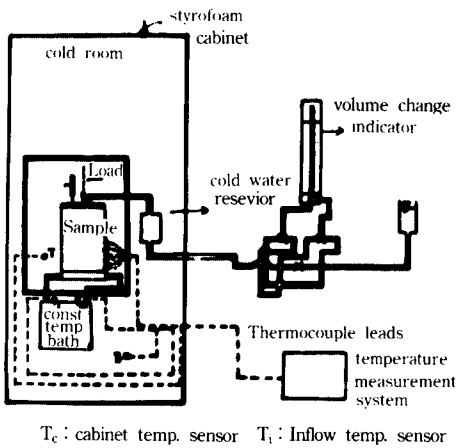


Fig. 5. Test configuration.

定하였다며凍結融解循環은 24時間으로하고,凍結中에凍結藉의溫度는  $-10^{\circ}\text{C}$ 까지 낮추고融解는  $20\sim23^{\circ}\text{C}$ 에서 24時間維持하였고, 또凍結-融解中排水의調節은開放系와閉鎖系로나누워 實施하였다. 載荷方法은單一荷重과反復荷重을加하여凍結 및融解狀態에서 實施하였다.[Fig. 5 참조]

#### IV. 實驗結果與考察

## 1. 凍結中の 水分移動

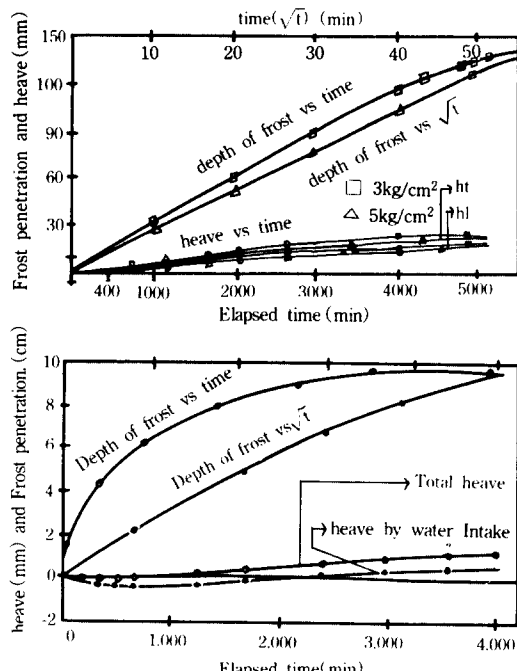
凍結中에 各應力水準에서의 水分移動과 凍上量을 測定한 結果는 Table-2 및 Fig. 6과 같다.

先行荷重을  $0.5\text{kgf}/\text{cm}^2$  加하고, 凍結中에 拘束力を 여러가지로 變更하여 實驗한 結果開放系에서는 물의 移動現象이 經過時間 1,000分以後에 이루워졌고, 이때에 물의 移動은 排水에서 吸水로 바뀌었으며, 各荷重水準에서 모두 類似하게 나타났다.

또凍上率이一定하도록維持한結果,水分

**Table-2. Soil test condition.**

pre-load (kgf/cm <sup>2</sup> )	temperature chamber (°C)	initial height (mm)	initial void ratio	initial moisture content(%)	temperature of cold side (°C)
-0.5	2	150	0.42	20	-10



**Fig. 6. Frost penetration and heave amount of soil**

吸水에 의한凍上은 물의 흐름이 排水에서 吸水로 轉換된 後에 發生되었으며, 한가지興味 있는 現象은 물의逆水現象이 일어나는 時間(to) 및 排水된 全體水分量과 吸水한 全體水分量이 同一하게 되는 時間( $t_1$ )을豫測할 수 있다는 것이다. 即

Stephen<sup>27, 28)</sup>의 式을 適用하여

$$X = g + \sqrt{t} \dots \quad (1)$$

여기서, X : 凍上量,(mm)

t : 시간(min)

$\alpha$  : 상수, ( $\text{mm}/\text{min}^{1/2}$ )

Fig. 6에서 全體凍上量  $h_T$ 는 2가지成分 即 原地盤의 間隙水에 의한 凍上量과 ( $h_i$ ) 水分吸水로 因한 凍上量 ( $h_e$ )으로 區分되며

$$h_i \equiv h_r - h_i(m, m) \dots \dots \dots \quad (2)$$

萬一凍結深さ凍結時間과의關係가 (1)式과  
같이直線關係가成立된다면全體凍上 $a_1$ 은  
一定하며方程式(2)는 다음式으로표시할수  
있다.

$$h_i = \alpha_1 t - \alpha_2 \cdot \sqrt{t} \dots \dots \dots \quad (3)$$

여기서,

$$\alpha_2 = \frac{h_r - h_i}{X}$$

$$\alpha_1 = \frac{h_r}{t}$$

(3)式을 時間에 對하여 微分하면,

$$\frac{dh_i}{dt} = \alpha_1 - \frac{\alpha_2 \cdot a}{2\sqrt{t}} \dots \dots \dots \quad (4)$$

吸水에 의한 凍上量  $h_i = 0$ 하고 (3)식을  $t$ 에 대하여 풀면,

$$t_1 = \left( \frac{\alpha_2 \cdot a}{\alpha_1} \right)^2 \dots \dots \dots \quad (5)$$

즉  $t_1$ 은  $\alpha_1$ 과  $\alpha_2$  값으로 推定할 수 있고  $a$ 는 初期段階의 實驗에서 얻을 수 있다. 같은 方法으로 (4)式에서

$$\frac{dh_i}{dt} = 0 \text{으로 하면}$$

$$t_1 = \left( \frac{\alpha_2 \cdot a}{2\alpha_1} \right)^2 \dots \dots \dots \quad (6)$$

Table 3은 (5)식과 (6)식을 利用하여 求한 理論值와 관측치의 比較값이다. 따라서 凍結이 運行中에 全凍上量이 陽(+)으로 나타나면, 初期段階의 荷重에서 물이 試料에서 排出되고 있더라도 물의 흐름은 排水에서 吸水로 바뀌게 되며, 拘束壓力은 凍上率에 상당한 影響을 미친다는 것을 알 수 있다. 또 관측치는 理論值보다 약간 크게 나타났고 stephen의 式에서  $\sqrt{t}$ 에 對한 凍上量의 直線關係는 拘束壓力이 클수록 더 오래 繼續되며, 따라서 排水에서 吸水로 轉換되는

時間도 短縮되고 있음을 알 수 있다.

## 2. 凍結土의 壓密變形特性

變形率을 여러가지로 變更하여 各應力水準에서 壓密試驗한 凍結土의 實驗結果를 Fig. 7에 表示하였다.  $\sigma - \sigma_3$  대  $\epsilon_1$  곡선의 頂點을 試料破壞點을 나타내고 이 頂點에 該當되는 強度( $(\sigma_1 - \sigma_3)_m$ )에서의 軸方向變形과 經過時間(tm), 그리고 接線係數(E)와의 關係를 Table-4에 表示하였다. 變形率과 拘束應力에 對한 軸差應力曲線은 大略비슷하였고 이는 拘束應力이 凍結土의 應力-變形거동에 크게 影響을 미치지 않는다는 것을 의미하며, 曲線이 全體的으로 平平하게 되어, 拘束應力에 對하여 塑性破壞現象을 나타내고 있음을 알 수 있다. 그러나 初期壓力段階에서는,多少의 類似彈性變形(3%以下)을 한후에, 塑性變形를 하였고, 軸放向變形이 3%에 達할 때까지 試料의 表面에 龜裂이 發生되지 않았다. 그러나 Carbee<sup>13)</sup>에 의하면 모래試料인 境遇에는 拘束應力은 變形-應力 舉動에 크게 영향을 미친다고 하였으며, Fig. 8와 같이 變形率에 對한 破壞時의 軸應力變化率은  $10^{-5}$  및  $10^{-6}$ 의 크기에서 갑자기 變化되고 있는데 이는 本 粒性土 試料의 變形모우드가 上記 變形率에서 集中的으로 發生되고 있음을 의미한다. 또한  $(\sigma_1 - \sigma_3)_m$ 은 拘束應力과 無關함을 의미하며, 破壞強度는 變形率이 增加함에 따라서 減少됨을 뜻하며, 또 變形率이 增加될수록 破壞되는 瞬間까지의 時間은 減少됨을 알 수 있다.

Fig. 9는 여러가지 變形率에 對한 모어의 應力위을 表示한 것이며, 흙의 内부마찰각은 零(0)

Table-3. Comparison of calculated and observed based on the equation.

Press- ure kgf/cm <sup>2</sup>	$\alpha_1$ mm/min	$\alpha_2$ cm/t	a mm	h <sub>i</sub> at time indicated		t <sub>0</sub>		t <sub>1</sub>	
				cal.	obs.	cal.	obs.	cal.	obs.
				mm		min		min	
0.5		0.00008						396	400
1.0		0.00023						364	387
3.0	0.0032	0.00058	3.6	0.26	0.30	98	100	336	369
4.0	0.0047	0.087	2.42	11.52	12.432	37.42	39.542	223	237
5.0	0.00514	0.06	1.84	17.82	18.802	3.20	4.00	31.20	32.50

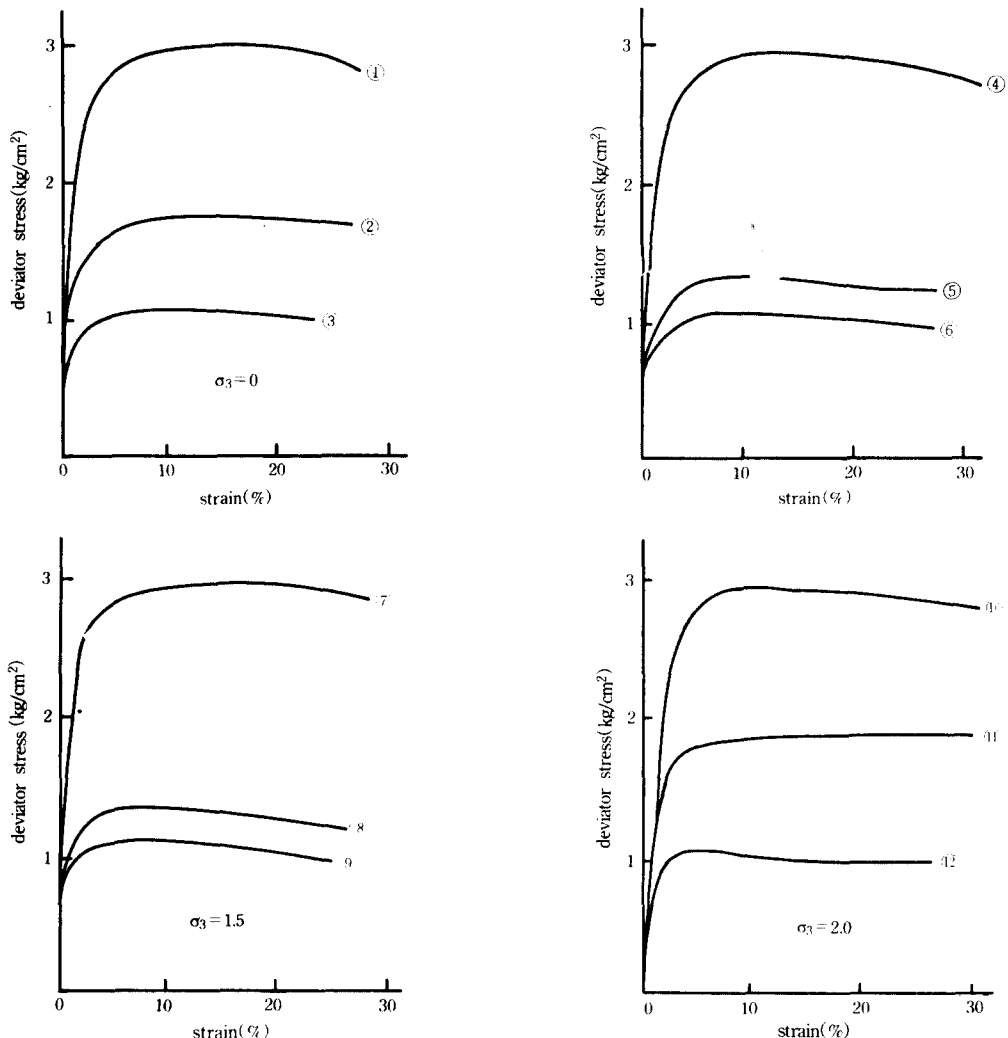


Fig. 7. Cuves of deviatoric stress vs axial strain for various confined stress under The condition of 10 cycles of Frost-Thaw.

이며 따라서 Coulomb의 方程式은

$$\tau = c = \frac{(\sigma_1 - \sigma_3)_m}{Z}$$

即 凍結粘土의 剪斷強度( $\tau$ )는 粒着力과 같고, 이는 最大軸差應力의 半에 該當된다.<sup>9, 25)</sup> 또한 變形率에 따라서도 差異가 나며, 接線係數는 變形에 無關하고 오리려 拘束壓力의 增加에 따라서, 약간 減少되는 傾向을 나타내고 있으며 이와 같은 事實은 ice pressure melting 現象에 의하여 土粒子를 둘러싸고 있는 不凍結水膜의 두

께가 增大되어 土粒子間의 摩擦力과 粒着力을 減少시키기 때문이라고 推測된다.

### 3. 凍結融解反復과 壓의 性質

Fig. 10은 液性限界와 凍結融解反復回數의 關係를 表示한 것으로, 첫 4~5회의 凍結-融解反復時驗에서는 液性限界가 크게 減少되는 傾向을 보였고, 凍結-融解의 反復回數를 增加시킴에 따라서 큰 變化는 일어나지 않았다. 또 閉鎖系와 開放系의 差異는 크게 인정되지 않았다.

Table-4. Test results under the various load condition.

sample number	applied strain rate(%)	confined stress (kgf/cm <sup>2</sup> )	axial strain at failure (%)	time to failure (min)	initial tangent modulus (kgf/cm <sup>2</sup> )	maximum deviator stress (kgf/cm <sup>2</sup> )	remarks
1	$1.04 \times 10^{-4}$	0	- 10.42	1.95	470	2.80	
2	$1.04 \times 10^{-5}$	0	10.53	17.4	540	1.75	
3	$1.04 \times 10^{-6}$	0	4.34	580	510	0.95	
4	$1.04 \times 10^{-4}$	1.0	9.54	1.92	500	2.75	
5	$1.04 \times 10^{-5}$	1.0	9.62	16	500	1.85	
6	$1.04 \times 10^{-6}$	1.0	4.16	106	420	0.92	
7	$1.04 \times 10^{-4}$	1.5	10.52	1.93	520	2.64	
8	$1.04 \times 10^{-5}$	1.5	3.87	62.4	490	1.93	
9	$1.04 \times 10^{-6}$	1.5	3.52	518	370	0.97	
10	$1.04 \times 10^{-4}$	2.0	12.15	2.74	470	2.86	
11	$1.04 \times 10^{-5}$	2.0	3.76	52.4	490	1.74	
12	$1.04 \times 10^{-6}$	2.0	4.25	676	392	0.92	

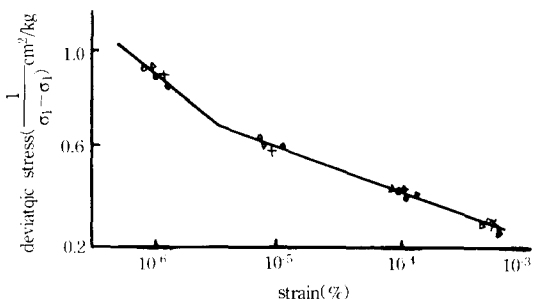


Fig. 8. Relationship between deviatoric peak strength ratio and strain rate of freeze-thaw soils.

고, 두試料 모두 비슷한 경향을 나타냈다.

이와같은現象은凍結-解凍反復에 의하여誘發된土粒子의 애그리게이션(Aggregation)作用때문이며,塑性指數가 약간높은U-試料에서 뚜렷하게 나타나고 있었다.<sup>32)</sup>

또土粒子의 애그리게이션으로因한安定性問題를觀察하기 위해서,凍結融解反復土에對하여沈降分析을 實施하고 이들結果를 Fig. 11에表示하였다.分散劑를 使用하지 않았을 때에는4~5回凍結-解融反復時의粘土에該當되는粒子의量이15%程度減少되었고10回程度以後에는애그리게이션現象이일어나지않고있다. 그러나開放系에서는약간의애그리게이션

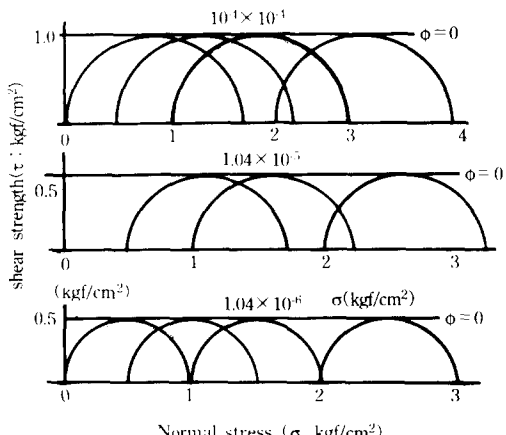


Fig. 9. Mohrs circle and envelope for freeze-thaw soils.

現象이繼續되고20回以後에는상당이安定化되었다.이들粘土分의組織單位減少現象은開放系에서더욱심하고,分散劑使用時에5日程度의凍結融解反復후에서20%程度로增加되었으며이와같은相反된土粒子構造의分布運動은Fig. 10에서立證된바와같이5回程度의凍結-解融反復試驗에서不安定狀態의새로운粒子組織單位가形成되고있음을의미하는것이다.

Fig. 12는溫度變化에 따른軸差應力과變形

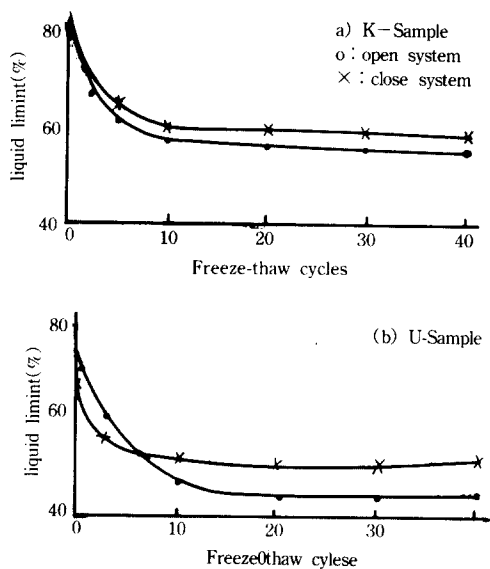


Fig. 10. Relationship between liquid limit and freeze-thaw cycles.

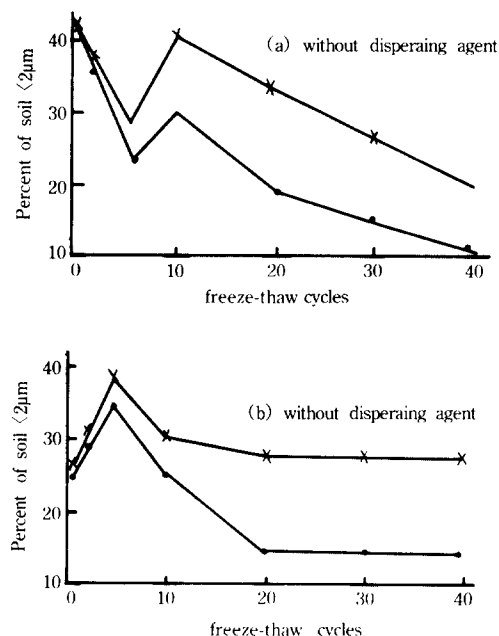


Fig. 11. Relationship between percent of soil, 2mm and freeze-thaw cycles.

率과의 關係를 나타내며 不凍結試料에서는 頂點  
強度부근에서 硬性破壞현상을 나타내는데 反하  
여 凍結된 試料에서는 軟性破壞를 하여 그의

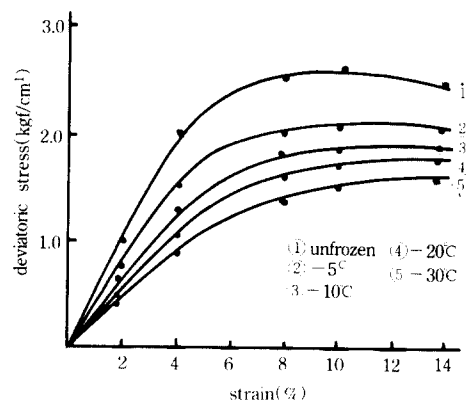


Fig. 12. Deviatoric stress and strain for various temperature.

頂點이 確實하게 나타나지 않고 있으며, 이와 같은 現象은 온도가 낮을 수록 더욱 현저하게 나타났다.<sup>1)</sup>

Fig. 13은 非排水强度와 養生日數와의 關係를

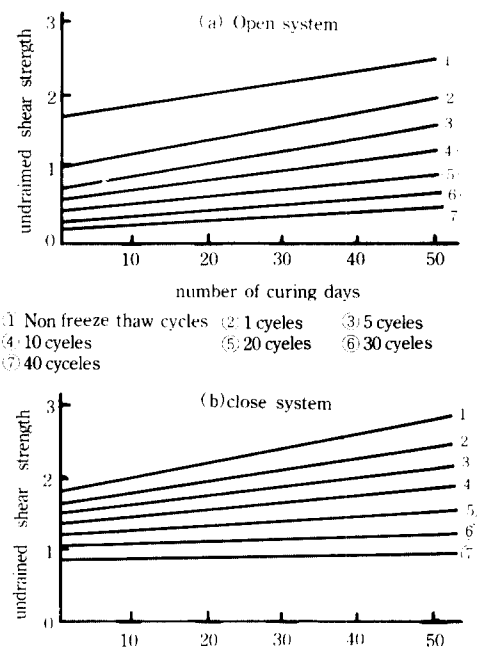


Fig. 13. Relationship between undrained sheen strength and number of curing days for various temperature.

凍結融解反復回數에 對하여 表示한 것으로 凍結融解反復回數는 흙의 剪斷 強度를 크게 變化 시키고 또 時間이 經過함에 따라서 턱소트로피 현상이 크게 나타나고 있으며<sup>31)</sup> 凍結融解反復回數가 增加함에 따라서 強度回復現象은 아주 輕微하게 나타나고 있다. 또 閉鎖系는 開放系보다 回復現象이 약간 예민하게 나타났으며 이는 間隙水內에 용해되어 있는 土粒子의 이온 結合에 의한 것으로 따라서 間隙水內의 化學的成分과 間隙水의 電荷<sup>32)</sup> 土粒子의 結合力에 影響을 미치고 있는 것으로 알려진 事實<sup>33)</sup>과 一致된다고 할 수 있다.

## V. 結論

흙의 凍結-融解反復, 荷重 및 凍結條件이 흙의 性質에 미치는 影響을 究明하기 為해서 몇 가지 實驗을 實施하여 다음과 같은 結果를 얻었다.

1. 凍結中에 全體凍上量이 陽(+)으로 나타나면 물의 흐름은 排水에서 吸水로 轉換되며, 拘束應力은 凍上率에 큰 影響을 미치고 拘束壓力이 普수록 排水에서 吸水로 轉換되는 時間이 短縮되었다.

2. 拘束壓力은 凍結土의 應力-變形曲線에 크게 影響을 미치며 異相시에는 变形률이  $10^{-6}$ 와  $10^{-7}$  사이에서 크게 變화되며 凍結土의 内部摩擦角은 零(0)이다.

3. 土粒子의 에그리케이션 現象은 첫 5回의 凍結融解 反復試料에서 크게 나타났으며, 液性限界를 20%程度 減少시키고, 塑性指數가 큰 흙에서 더욱 뚜렷하게 나타났다.

4. 凍結融解反復回數는 흙의 剪斷強度에 크게 影響을 미치며 反復回數가 普수록 턱소트로피現象은 減少되었다.

5. 凍結程度는 흙의 破壞強度에 크게 影響을 미치며 凍結溫度가 낮을수록 軟性破壞現象이 뚜렷하게 나타났다.

## 參 考 文 獻

- Aoyama, K., Temperature dependencies of

mechanical properties of soils subjected to freezing and thawing, Fourth Intl. sym. on ground freezing, pp. 217-222, 1985.

- Bouyoucos, G. J., A study of the causes of frost occurrence in muck soils, Soil science vol. 5 pp. 39-42, 1922.
- \_\_\_\_\_, Movement of soil moisture from small capillaries to large capillaries of soil upon freezing, Jour. of agricultural research, vol. 5, pp. 79-84, 1923.
- Broms, B. B., The bearing capacity of flexible pavements subject to frost action, H. B. R. vol. 258, pp. 138-140, 1963.
- Brom, B. B., Yao, Y. C., Shear strength of a soil after freezing and thawing, Jour. of SMFD, vol. 90, No. SM4, pp. 1-25, 1964.
- Benoit, G. R., Bornstein, J., Freezing and Thawing effects on draing, Proc. soil science soc. Am., vol. 34, No. 4, pp. 551-557, 1970.
- Bernard, D. A., A mechanism for predicting the effect of cyclic freeze-thaw on soil behaviour, The 2nd Intl. conf. sym. on ground freezing, pp. 285-296, 1980.
- Baker, T. H. W., Jones, S. J. and Parameswaran, V. R., Cofined and unconfined compression test on frozen sand, Pros. of fourth Can. permafrost conf. pp. 385-396, 1981.
- Chamberlain, E. J., Groves, C., Perham, R., The mechanical behaviour of frozen earth materials under high pressure triaxial test conditions, Geotechnique, vol. 22, No. 3, pp. 469-483, 1972.
- Chamberlain, E. J., A model for predicting the influence of closed system freeze-thaw on the strength of clays, O C E O sym. on frost action on roads, Oslo, vol. 3, pp. 39-46, 1973.
- Chamberlain, E. J., Blouin, S. E., Frost action as a factor in enhancement of the drainage and consolidation of fined-grained dredged materials, U. S. army, Eng. water, Res. program, tech. rep., D-77-16, pp. 59-63, 1977.
- Castro, G., Christian, J. J., Shear strength of

- soils and cyclic loadings, Jour. of the geo. technical engineering division, ASCE, vol. 2, GT 9, pp. 887-894, 1976.
13. Carbee, D. L., Yuanlin, Z., Triaxial compressive strength of frozen soils under constant strain rates, proc. fifth Intl. conf. on ground freezing, vol. 1, pp. 1200-1205, 1988.
  14. Everett, D. H., Haynes, J. M., Capillary properties of some model pore systems with special reference to frost damage, RILRMC, bull. new ser. vol. 27, pp. 31-38, 1965.
  15. Frese, H., Czeratski, W., Importance of water in formation of soil structure, H. R. B., special rep., vol. 40, pp. 200-211, 1958.
  16. Jessberger, H. L., Carbee, D., Influence of frost action on the bearing capacity of soils, H. R. B., HBR304, pp. 14-26, 1970.
  17. Hurt, K. G., The prediction of the frost susceptibility of limestone aggregates with reference to road construction, Ph. D. thesis, university of Nottingham pp. 27-36, 1976.
  18. Jones, R. H., Frost heave damage and its prevention, In: Pell, P. S.(ed), DHPE, pp. 43-77, 1978.
  19. Jones, R. H., Frost heave of roads, Quarterly jour. of engineering geology, vol. 13, pp. 77-86, 1980.
  20. Koopmans, R. W. R., Miller, R. D., soil freezing and soil water characteristics curves, Soil sciences society of America, vol. 30, pp. 685-690, 1966.
  21. Miller, R. R., Freezing and heaving of saturated and unsaturated soils, Highway research record, vol. 393, pp. 1-11, 1972.
  22. Nagasawa, T., Umeda, Y., Effects of the freezing-thawing process on soil structure, Fourth ISGF, pp. 219-223, 1985.
  23. Penner, E., Frost heaving in soils, Proc. intl. conf. on permafrost, pp. 197-202, 1963.
  24. Penner, E., Umeda, T., The indepence of frost heaving on load application, preliminary results, Proc. of intl. syop. frost act in soil, vol. 3, pp. 92-101, 1977.
  25. Querry, J. F., Results of triaxial compression test and triaxial creep test on an artificially frozen stiff clay, Pros. of the 4th intl. sym. on ground freezing vol. 11, pp. 207-212, 1985.
  26. Ruckli, R. F., Two and three dimensinal ground flow towards the ice lenses formed in frozen ground, 2nd intl. conf. SMFE, vol. 111, pp. 297-304, 1984.
  27. Strphen, F., Frost heave, Jour. of geology, vol. 37, no. 5, pp. 221-229, 1929.
  28. \_\_\_\_\_, Frost and thawing of soils as factors in destruction of road pavements, Public roads, vol. 11, No. 6, pp. 120-136, 1930.
  29. Smith, L. B., Thaw consolidation tests on remoulded clays, M. Sc., Thesis of Alberta univ. Edmonton, pp. 24-32, 1972.
  30. Williams, P. J., Pore pressure at a penetrating frost line and their prediction, Geotec. vol. 16, No. 3, pp. 187-208, 1966.
  31. Young, R., et al, Soil properties and behaviour, Elsier, pp. 79-82, Amsteldam, 1975.
  32. Young, R. N., Murphey, D., Short-term cyclic freeze-thaw effects on strength properties of a sensitive clay, 3rd, intl. sym. on ground freezing pp. 256-346, 1982.
  33. Young, R. N., Boonsin suk, P., Alternation of soil behaviour after cyclic freezing and the thawing, fourth intl. sym. on ground freezing, pp. 187-195, 1985.